

# **ВЛИЯНИЕ ВЯЗКОСТИ МИНЕРАЛЬНОГО МОТОРНОГО МАСЛА И ПРИСУТСТВИЯ В НЕМ АНТИФРИКЦИОННОЙ ПРИСАДКИ НА МЕХАНИЧЕСКИЕ ПОТЕРИ МАЛОРАЗМЕРНОГО ДИЗЕЛЯ**

*С.В. Путинцев, д.т.н., проф., С.П. Чирский, к.т.н., доц.*

*МГТУ им. Н.Э. Баумана*

*С.С. Стрельникова, м.н.с.*

*ИМАШ РАН*

Представлены результаты сравнительных испытаний трех видов смазочных материалов: высоковязкого минерального моторного масла, маловязкого минерального моторного масла и высоковязкого масла с жидким маслорастворимой антифрикционной присадкой. Цель испытаний — определение влияния вязкости масла и наличия в нем антифрикционной присадки на общие механические потери двигателя. Испытания проводились на экспериментальной макетной установке на базе малогабаритного быстроходного дизеля. Механические потери определялись двумя методами: электродинамическим и калориметрическим. Результаты тестирования выявили значимое (превышающее погрешность измерения контрольных величин) и однозначное влияние вязкости масла на трение в поршневом двигателе, а именно: снижение высокотемпературной вязкости моторного масла на 62 % привело к подавлению трения в дизеле в среднем на 22 %; при введении в вязкое моторное масло антифрикционной присадки снижение трения составило 6 %. В ходе исследования установлено, что характер изменения механических потерь в дизеле от времени и скоростного режима испытаний соответствует известным научным представлениям о процессах трения смазываемых деталей машин.

Несмотря на большое количество работ, посвященных различным аспектам применения моторных масел в ДВС, научных исследований маловязких энергосберегающих моторных масел, которые в настоящее время выходят на первое место в ряду смазочных материалов для бензиновых и гибридных двигателей современных автомобилей, явно недостаточно. Известные публикации, касающиеся феномена маловязких моторных масел, носят в основном информационно-аналитический характер [1–3 и др.], что оставляет за рамками объяснение как механизма энергосберегающего эффекта, так и обоснование ограничений применения этой группы смазочных материалов. В частности, данное замечание относится к дефициту экспериментальных данных и обобщений о влиянии на

трение поршневого двигателя вязкости минеральных моторных масел, по определению не обладающих высокими смазывающими свойствами по сравнению с полностью синтетическими моторными маслами, составляющими основу всех производимых в настоящее время энергосберегающих смазочных материалов для ДВС. Нет пока ответа на вопрос об эффективности введения отдельно производимых антифрикционных присадок в готовые товарные формы летних (т. е. вязких) минеральных моторных масел. И наконец, высокий интерес для науки и практики представляет получение информации о возможности и целесообразности использования в качестве энергосберегающих смазочных материалов для быстроходных дизелей универсального типа новых продуктов на рынке автохимии, а именно предназначенных для смазки гибридных силовых агрегатов автомобилей сверхмаловязких (*ultra low-viscosity*) смазочных материалов вязкостных классов SAE 0W-16 и SAE 0W-8.

Цель данной работы состояла в выявлении влияния вязкости минерального моторного масла и наличия в нем антифрикционной присадки на механические потери малоразмерного быстроходного дизеля в условиях испытаний на макетной установке.

Для достижения указанной цели к решению были поставлены следующие задачи:

1. Определение того, как влияет значительное (порядка 50 % и более) снижение вязкости моторного масла на механические потери в дизеле.

2. Оценка результативности введения известной антифрикционной присадки в вязкое минеральное моторное масло.

3. Проверка эффективности применения двух различных методов трибометрии поршневых машин при натурном моделировании процессов трения в ходе тестировании смазочных материалов.

## **Объекты, средства и методы испытаний**

В данной работе к испытаниям были представлены три объекта:

1. Минеральное моторное масло М-10Г2К (SAE 30 API CC), дизельное, летнее (т. е. исходно высоковязкое) с паспортной кинематической

вязкостью при температуре 100 °C, равной в среднем 10 сСт. Реальное значение этой высокотемпературной вязкости по результатам лабораторных измерений, выполненных согласно ГОСТ 33768–2015, составило 13 сСт.

2. Масло по п.1, содержащее 3 % (об.) жидкой маслорастворимой антифрикционной присадки известной торговой марки, тип и название которой из соображений защиты авторских прав производителя здесь не раскрывается. Измеренное значение кинематической вязкости при 100 °C этой смазочной композиции отличалось от вязкости объекта 1 в сторону занижения на 2 сСт (15 %), оказавшись равным 11 сСт, что позволило отнести это масло в вязкому.

3. Масло по п.1, разбавленное зимним дизельным топливом в соотношении 3:1 до значения кинематической вязкости 5 сСт при 100 °C, что было на 62 % меньше вязкости объекта 1 и соответствовало среднему значению аналогичного показателя сверхмаловязких масел класса SAE 0W-8 [4].

При проведении данной работы для определения механических потерь, обусловленных трением смазываемых деталей поршневого двигателя, параллельно использовали два метода:

1. Электродинамический, основанный на измерении электрической мощности в цепи приводного электродвигателя, затрачиваемой на прокрутку коленчатого вала ДВС.

2. Калориметрический, предусматривающий измерение обусловленных трением температур стенки цилиндра и моторного масла в главной масляной магистрали.

Применение как первого, так и второго методов стало возможным, поскольку режим испытаний осуществлялся прокруткой поршневого двигателя без сжатия, сгорания и охлаждения, т. е. выполнено натурное моделирование процессов трения в поршневом двигателе, опробованное и хорошо показавшее себя при сравнительном трибометрическом тестировании смазочных материалов и вариантов модернизации смазываемых деталей ЦПГ ДВС [5, 6].

В качестве средства испытаний применялась макетная установка на базе дизеля 1Ч8,5/8,0 (ТМЗ-450Д) [6], снабженная необходимым оборудованием и приборами для осуществления режимов испытаний, а также отслеживания регулируемых и контрольных величин (рис. 1).

В число регулируемых (задаваемых) величин входили:

- частота вращения коленчатого вала  $n$  и масляного насоса  $n_{\text{мн}}$  (автономный привод);
- давление масла в главной масляной магистрали дизеля  $p_{\text{м}}$ ;
- время (продолжительность) испытаний  $T$ ;

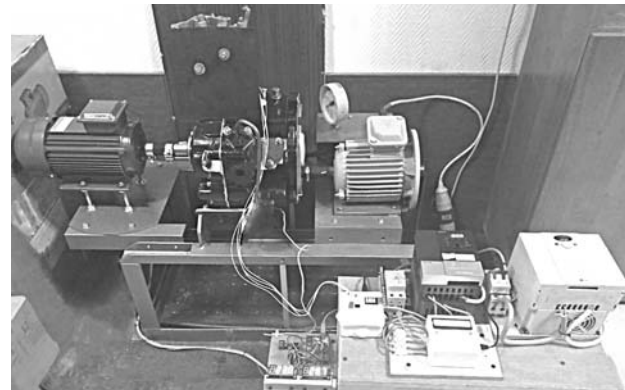


Рис. 1. Общий вид макетной установки на базе дизеля 1Ч8,5/8,0 (ТМЗ-450Д)

➤ соотношение между частотами вращения коленчатого вала дизеля и вала масляного насоса, а также диапазон значений давления масла в главной масляной магистрали:  $n_{\text{мн}} = 0,5n$  и  $p_{\text{м}} = 0,3...0,5 \text{ МПа}$ .

К контрольным (подлежащим измерению как показатели уровня трения в двигателе) были отнесены:

➤ мощность, затрачиваемая на прокрутку дизеля —  $N$ ;

➤ температура цилиндра  $t_c$ , определяемая как среднее арифметическое двух температур противолежащих сторон стенки цилиндра в плоскости качания шатуна в среднем по высоте цилиндра пояссе, т. е. в зоне, где поршень при движении в цилиндре имеет наибольшую скорость и более всего нагревает стенки последнего;

➤ температура моторного масла в главной масляной магистрали —  $t_m$ .

Контрольные величины  $N$  и  $t_m$  в условиях прокрутки дизеля без сжатия, сгорания и охлаждения непосредственно характеризуют общие потери на трение в смазываемых сопряжениях ЦПГ и КШМ двигателя; контрольная величина  $t_c$  характеризует уровень трения в ЦПГ.

Методика проведения испытаний каждого объекта включала два последовательных этапа, переходящих один в другой без остановки:

*этап 1* — прокрутка дизеля на постоянной частоте вращения коленчатого вала 1000 об/мин в течение времени  $T = 60 \text{ мин}$ ;

*этап 2* — построение скоростной характеристики механических потерь дизеля в диапазоне частот вращения от 1000 до 2000 об/мин с шагом 200 об/мин за общее время  $T = 10 \text{ мин}$ .

Во избежание проявления известного эффекта последействия антифрикционных присадок, приводящего к нарушению принципа прочих равных условий при сравнительных испытаниях, тестирование объекта 2 проводили после испытаний объектов 1 и 3.

## Обработка результатов испытаний

Обработка полученных результатов сводилась к построению в одних координатных осях зависимостей каждой из трех контрольных величин  $N$ ,  $t_c$  и  $t_m$ : от времени испытаний  $T$  при постоянной частоте вращения (этап 1); в зависимости от частоты вращения коленчатого вала  $n$  (этап 2); анализу характера протекания кривых и вычислению средних значений каждой контрольной величины для каждого объекта за время испытаний  $T$  на соответствующем этапе.

Для идентификации факта значимого, т. е. превосходящего погрешность измерения контрольной величины, снижения механических потерь при переходе от одного смазочного материала (объекта испытаний) к другому использовалось сопоставление полученной разницы значений сходственных контрольных величин сравниваемых пар объектов 1–2, 1–3 и 2–3 с доверительным интервалом погрешности измерения  $I$  контрольной величины в его абсолютном  $\Delta$  и относительном  $\delta$  выражениях.

Доверительные интервалы погрешностей измерения  $I$ , представляющие собой модули удвоенных предельных абсолютных  $\Delta K$  и относительных  $\delta K$  погрешностей, определенные на основании обработки паспортных данных оборудования и измерительных приборов, составили для мощности трения  $N$ :  $I\Delta N = 0,08 \text{ кВт}$ ;  $I\delta N = 3\%$ ; для температур стенки цилиндра и моторного масла  $t_c$  и  $t_m$ :  $I\Delta t_c$  и  $I\Delta t_m = 1^\circ\text{C}$ ;  $I\delta t_c$  и  $I\delta t_m = 1\%$  соответственно.

Разница сходственных контрольных величин считалась значимой, если превосходила их доверительный интервал погрешности измерений:  $\Delta K > I\Delta K$  или  $\delta K > I\delta K$ , где  $K$  — контрольная величина.

## Результаты испытаний и их обсуждение

Как следует из результатов испытаний, приведенных на рис. 2 и 3, изменение каждой из трех контрольных величин  $N$ ,  $t_c$  и  $t_m$  для каждого из трех объектов 1...3 при варьировании значений одной и той же регулируемой величины ( $T$  либо  $n$ ) имеет сходный характер, что указывает в целом на идентичность протекающих процессов трения и, соответственно, на отсутствие методических нарушений при проведении испытаний.

Анализируя поведение кривых на рис. 2, где переменной (задаваемой) величиной при проведении испытаний являлось время  $T$ , следует отметить логичное поведение функций  $N = f(T)$  и  $t_{c,m} = \varphi(T)$ , согласующееся с известным характером изменения, в первом случае, момента сопротивления ДВС при прокрутке во время обкатки и, во втором случае, с характером изменения температуры трущегося тела в условиях отсутствия принудительного охлаждения.

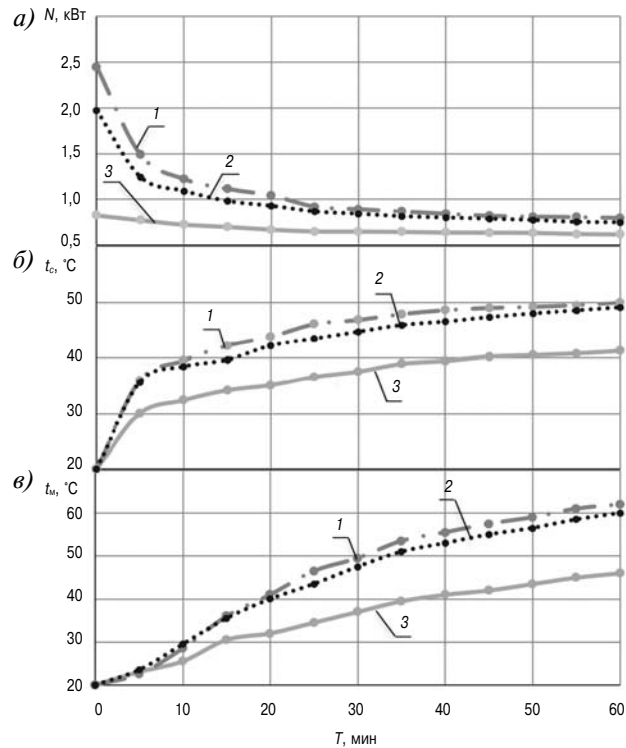


Рис. 2. Зависимость контрольных величин  $N$  (а),  $t_c$  (б) и  $t_m$  (в), характеризующих трение в дизеле 1Ч8,5/8,0, от времени испытаний  $T$  для объектов 1...3

Представленное на рис. 2 нелинейное по характеру и происходящее с падающей интенсивностью снижение мощности трения  $N$  и, наоборот, возрастающее по мере увеличения продолжительности прокрутки  $T$  обусловленных работой сил трения температур  $t_c$  и  $t_m$ , приводило в итоге к стабилизации на определенном уровне значений как мощности трения  $N$ , так и температур  $t_c$  и  $t_m$ .

Такое поведение указанных контрольных величин соответствует известным положениям физики граничного трения [7] и указывает на аналогию процесса испытаний объектов на этапе 1 процедуре приработки смазываемых деталей поршневого двигателя [8].

Продолжительность испытаний до момента стабилизации значений мощности трения  $N$  и температуры цилиндра  $t_c$  для всех трех объектов составила в среднем 45 мин; стабилизация значений температуры масла  $t_m$  за период прокручивания  $T = 60$  мин не была достигнута, что можно объяснить большей (по сравнению с цилиндром) площадью тепловоспринимающей поверхности масляного картера и масляных каналов, обслуживаемых потоком моторного масла, температура которого измеряется в зоне торцовой стенки главной масляной магистрали.

Из рассмотрения относительного расположения кривых, соответствующих объектам 1...3, на

рис. 2 можно заключить, что различие антифрикционных свойств высоковязкого минерального масла (объект 1), этого же масла с присадкой — вязкого (объект 2) и сверхмаловязкого минерального масла (объект 3) проявилось достаточно четко, но по-разному для различных контрольных величин.

Так, по характеру изменения мощности трения  $N$  за период прокрутки на постоянной частоте вращения коленчатого вала (рис. 2, а), видно, что значения этой контрольной величины для сравниваемых объектов значительно отличаются друг от друга в стартовый момент, когда смазочный материал имеет наименьшую (комнатную) температуру, т. е. наибольшую вязкость. Мощность трения  $N$ , обусловленная затратами на прокрутку коленчатого вала (и движение поршня в цилиндре) в условиях вязкого сопротивления особенно высока, а значения мощностей трения объектов 1...3 существенно разнятся.

По мере прогрева трением в ходе прокрутки вязкость смазочного материала с наибольшим начальным трением (объект 1 — высоковязкое минеральное масло) падает быстрее в сравнении с двумя другими смазочными материалами. Гидродинамическое трение объекта 1 снижается более интенсивно, чем у объекта 2, на изменение вязкости которого, скорее всего, оказывает влияние антифрикционная присадка, и особенно чем у объекта 3, поэтому кривые сравниваемых объектов сближаются, сохраняя при этом начальное расположение относительно друг друга: кривая объекта 1 (высоковязкое минеральное масло) выше всех — наибольшее трение; кривая объекта 2 (вязкое минеральное масло с антифрикционной присадкой) — несколько ниже кривой объекта 1, и, наконец, кривая объекта 3 (сверхмаловязкое минеральное масло) занимает наиболее низкое положение по отношению к кривым объектов 1 и 2.

Расположение и характер изменения контрольных величин  $t_c$  и  $t_m$ , обусловленных трением, — соответственно (рис. 2, б) и (рис. 2, в), подобно тому, что имеет место на рис. 2, а, за исключением начального участка, на котором все температуры объектов сходятся в одной точке, являющейся температурой окружающей среды на момент начала испытания.

Отличие характера изменения температур  $t_c$  и  $t_m$  — более высокая интенсивность увеличения температуры  $t_c$  в начальный период прокрутки по сравнению с температурой  $t_m$ . Объяснение этому состоит в более высокой интенсивности процесса трения в ЦПГ, чем в кривошипно-шатунном механизме (КШМ) и, как указывалось выше, в меньшей тепловоспринимающей площади внутренней поверхности стенки цилиндра по

сравнению с поверхностью масляного картера и каналов системы смазки.

Аналогичное описанному выше относительное расположение сравниваемых кривых сохраняется на всех графиках этапа 2 (скоростные характеристики механических потерь) (рис. 3).

Характер изменения кривых всех контрольных величин на скоростных характеристиках механических потерь на этих графиках в целом имеет логичный, исходя из природы формирования сил трения в преимущественно гидродинамическом режиме смазки деталей ЦПГ и КШМ, вид: потери на трение всех объектов и по всем контрольным величинам слабо нелинейно возрастают при увеличении частоты вращения коленчатого вала  $n$ . Такое поведение кривых скоростных характеристик на рис. 3 хорошо согласуется с характером изменения механических потерь быстроходных ДВС по результатам снятия аналогичных характеристик типовыми методами прокрутки, часового расхода топлива на холостом ходу, отключения цилиндров и выбега согласно ГОСТ 18509–88 и ГОСТ 14846–81.

Данное обстоятельство указывает на добротность методики и применимость обоих способов (электродинамического и калориметрического) для оценки не только значимых, но и малых (до 10 %) изменений механических потерь.

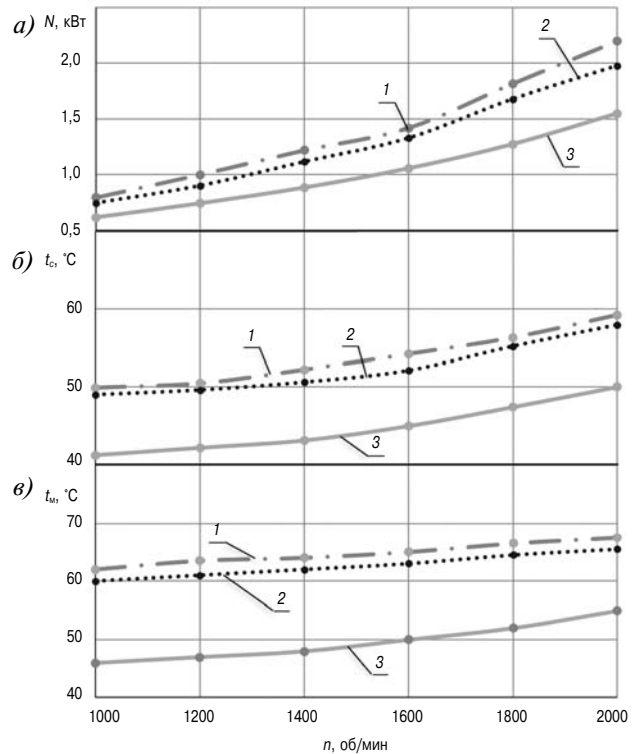


Рис. 3. Зависимость контрольных величин  $N$  (а),  $t_c$  (б) и  $t_m$  (в), характеризующих трение в дизеле 1Ч8,5/8,0, от частоты вращения коленчатого вала  $n$  для объектов 1...3

Оценка итоговых результатов испытаний объектов, представленная в таблице, показала, что, если за основную точку отсчета взять результаты испытаний объекта 1 – летнее (высоковязкое) минеральное моторное масло, рекомендованное заводом-изготовителем в качестве смазочного материала для дизеля 1Ч8,5/8,0, то наиболее эффективным техническим решением для минимизации механических потерь следует признать существенное снижение вязкости данного смазочного материала, т. е. применение сверхмаловязкого масла (объекта 3). В данной работе уменьшение высокотемпературной вязкости моторного масла М-10Г2К с 13 до 5 сСт (на 62 %) сопровождалось снижением механических потерь дизеля 1Ч8,5/8,0 на 22 %. Замена объекта 2 (вязкое минеральное моторное масло с антифрикционной присадкой) на то же самое масло без указанной присадки, но обладающее примерно в два раза меньшей высокотемпературной вязкостью (объект 3), привела к снижению трения в смазываемых сопряжениях дизеля на 18 %.

Переход от объекта 1 к объекту 2, т. е. от высоковязкого минерального масла к вязкому маслу с антифрикционной присадкой, обеспечил в среднем 6 %-ное снижение потерь на трение дизеля. Этот достаточно скромный результат снижения трения нельзя напрямую связывать с антифрикционным действием присадки: сопоставление данных о реальной вязкости объектов и условий испытаний указывает на то, что антифрикционная присадка, скорее всего, не проявила в полной мере свои служебные свойства в условиях умеренных температур смазочного материала (от 20 до 65 °C) и отсутствия высоких нагрузок на смазываемые детали. Кроме того, повышение эффективности антифрикционных присадок следует ожидать при использовании последних в маловязких моторных маслах, о чем сообщалось выше в вводной части данной статьи как о достаточно известном факте, подтверждение которого не входило в перечень задач настоящего исследования.

Сравнение значений относительных разниц контрольных величин, полученных для сравниваемых пар объектов 1...3, показало, что энергодинамический способ оценки механических потерь обнаружил в ходе данного исследования несколько большую (в среднем на 5 %) чувствительность к изменению трения, чем калориметрический способ. Такой результат, имеющий противоположный знак по сравнению с полученным в работе [5], объясняется применением в данном исследовании улучшенной схемы измерения электрической мощности приводного электромотора, что обеспечило полную компенсацию искажений при контроле силы тока.

### Эффективность снижения механических потерь по результатам сравнительных испытаний объектов 1...3

Контрольная величина $K$ , размерность	Разницы средних значений контрольных величин для пар сравниваемых объектов			Интервал погрешности измерения контрольной величины $K$	Оценка значимости результата сопоставления		
	1–2	1–3	2–3		1–2	1–3	2–3
$N, \text{ кВт}$ (%)	0,13 (9)	0,39 (27)	0,26 (21)	0,08 (3)	↓	↓	↓
$t_c, ^\circ\text{C}$ (%)	2 (4)	9 (17)	7 (13)	1 °C (1)	↓	↓	↓
$t_m, ^\circ\text{C}$ (%)	2 (4)	15 (23)	13 (21)		↓	↓	↓
В среднем (%)	(6)	(22)	(18)	(3)	↓	↓	↓

Примечание: в столбце «Оценка значимости результата сопоставления» таблицы символ «↓» указывает на значимое (превосходящее погрешность измерения соответствующей контрольной величины  $K$ ) снижение механических потерь.

В результате исследования установлено, что параллельное использование двух различных по принципу действия, электродинамического и калориметрического способов контроля трения смазываемых деталей дизеля на макетной установке повышает достоверность трактовки результатов измерения контрольных величин и определения разницы механических потерь сравниваемых объектов, обусловленной изменением реологических и антифрикционных свойств моторного масла.

#### Выходы

1. Переход с высоковязкого на сверхмаловязкое минеральное масло, сопровождаемый снижением высокотемпературной вязкости с 13 до 5 сСт при 100 °C (на 62 %) приводит к существенному, составившему в среднем 22 %, снижению механических потерь в дизеле 1Ч8,5/8,0 по результатам сравнительных испытаний в условиях прокрутки без сжатия, сгорания и охлаждения.

2. Замена вязкого (11 сСт при 100 °C) минерального масла с антифрикционной присадкой на сверхмаловязкое масло без присадки (5 сСт при 100 °C) характеризуется снижением трения в смазываемых сопряжениях дизеля на 18 %.

3. Введение в высоковязкое масло 3 % (об.) антифрикционной присадки сопровождается снижением его высокотемпературной вязкости с 13 до 11 сСт (на 15 %) и механических потерь дизеля на 6 %.

4. Все указанные выше в пп. 1...3 выводов уровни относительного снижения механических потерь являются значимыми, поскольку гарантированно превышают доверительные интервалы погрешности измерения контрольных величин – показателей трения дизеля в данной работе.

5. Наблюдаемый в ходе исследования характер изменения контрольных величин соответствует известным положениям физики и гидродинамики смазки, что указывает на добротность примененных методов и методик испытаний, подтвердивших свою пригодность для оценки не только существенных, но и малых (до 10 %) изменений механических потерь в поршневых двигателях при проведении сравнительных испытаний смазочных материалов.

#### Литература

1. Колодочкин М.В., Шабанов А.Ю. Саентология масла // За рулем. 2008. № 3. С. 182–185.
2. Масла с низким НTHS. Эра малой вязкости. URL: <https://www.automediapro.ru/masla-s-nizkim-hths-era-maloj-vyazkosti-/>.

3. Rejowsky E.D., Tomanik E., Souza J.P. Low viscosity oil impact on heavy duty diesel engine components // XXIV Simposio Internacional de Engenharia Automotiva. 2016. Pp. 118–130, doi: 10.515/engpro-simea2016-pap20.

4. Motul Hybrid Oil 0W-8. URL: <https://www.motul.com/ru/en/>.

5. Путинцев С.В., Агеев А.Г. Экспериментальная оценка малых изменений механических потерь в условиях стендовых моторных испытаний // Известия вузов. Машиностроение. 2014. № 7 (652). С. 1–7.

6. Путинцев С.В., Пилацкая С.С., Ратников А.С. Методика и результаты трибометрии вариантов цилиндропоршневых групп быстроходного дизеля // Двигательстроение. 2019. № 3. С. 16–19.

7. Ахматов А.С. Молекулярная физика граничного трения. М. : Физматгиз, 1963. 472 с.

8. Заренбин В.Г., Касумов А.Х. Исследование режимов приработки автомобильных двигателей при капитальном ремонте. М. : Транспорт, 1983. 78 с.